

PRÍSPEVKOV K TEÓRII TERMOELEKTRICKÝCH JAVOV V NEHOMOGÉNNYCH POLOVODIČOCH

BERNARD KÖNIG, Bratislava

V práci sa po odvodení potrebných vzťahov výšetruje vplyv nehomogenity na termonapäť a tepelnú bilanciu termočlánku. Nehomogenita je vytvorená zmenou koncentrácie prímesí.

ÚVOD

Hľadanie faktorov, ktoré majú vplyv na termoelektrické napätie, resp. účinnosť termočlánkov, je stále aktuálnym problémom. Určenie vplyvu nehomogenity ako ďalšieho faktoru, ktorý doteraz nebol prešetréný, je havným bodom tejto práce.

Uvedený problém bolo možné riešiť len po úplnom — i keď v určitom priblížení — riešení všetkých základných vzťahov.

V 1. kap., ktorá tvorí akýsi teoretický podklad sú odvodené pomocou Lorentzovho riešenia Boltzmannovej transportnej rovnice vzťahy súvisiace najmä s termoelektrickými javmi v homogénnych a nehomogénnych materiáloch. Medzi iným je tu odvodený výraz pre teplo uvolnené následkom prechodu prídu nehomogénnou vzorkou, ktorá sa nachadza v teplotnom poli, výraz pre prídu nehomogénej vetve k termoelektrickému napätiu. Úplné odvodenie niektorých známych výsledkov je prevedené jednak za účelom poukázania na použité zjednodušujúce predpoklady (pretože sú často citované ako „najobecnejšie“) jednak pre potrebu dielčích výsledkov v dalsom.

V 2. kap. je riešený vplyv nehomogenity, resp. zmeny orientácie nehomogenity vzhľadom k teplostnému polu na termonapäť a tepelnú bilanciu termočlánku.

ODVODENIE VZŤAHOV SÚVISIACICH S TRANSPORTNÝMI — NAIMÄ TERMOELEKTRICKÝMI — JAVMI V HOMOGÉNNYCH A NEHOMOGÉNNYCH MATERIÁLOCH

ELEKTRICKÁ VODIVOSŤ A ELEKTRÓNOVÁ TEPELNÁ VODIVOSŤ

Majme nehomogénnu s ohľadom na koncentráciu prímesí polovodič s rovna-

kým priezorom, ktorý sa nachádza v teplotnom poli. Pre výpočet jednotlivých tokov v stacionárnom stave použijeme — nakoľko sa o kvalitatívny rozbor — Lorentzovo riešenie Bolzmannovej transportnej rovnice [1]. Rozdeľovacia funkcia je potom

$$f = f_0 - v_x g = f_0 - v_x \frac{l}{v} \left(\frac{\partial f_0}{\partial x} - e E_x \frac{\partial f_0}{\partial e} \right). \quad (1)$$

$$f_0 = \{ \exp((E - E_f)/kT) + 1 \}^{-1} \quad (1a)$$

kde l je stredná volná dráha elektrónu, ktorý má rýchlosť v , v_x resp. E_x je x -ová zložka rýchlosťi, resp. intenzita elektrického pola, E je energia elektrónu a E_f Fermiova hladina.

V ďalšom budeme predpokladať energiu elektrónu až na aditívnu konštantu ν tvare

$$\varepsilon = \frac{m^* v^2}{2}, \quad (1b)$$

kde m^* je efektívna hmotnosť.

To v skutočnosti platí pre blízke okolie stredu Brillouinovej zóny, resp. pre spodný okraj vodivostného pásma. V prípade neštandardných zón bol by po rozboare prevedenom napr. v [2] ďalší postup analogický. Relaxačnú dobu elektrónu budeme považovať za skalár, ktorý je funkciou jeho energie, čo je možné i v mnohých prípadoch zložitej pásovej štruktúry [3] v tvare

$$\tau = \frac{l}{v} + \frac{l_0(T) \mu^*}{v} \quad (1c)$$

kde r závisí od druhu mriežky a mechanizmu rozptylu elektrónov.

Hustota konvenčného elektrického prúdu v smere osi $+x$ je

$$j = -e \iiint v_x f dv_x dv_y dv_z \frac{2m^*}{h^3} \quad (2)$$

kde $2m^*/h^3$ je hustota počtu stavov s ohľadom na dve možné orientácie spinu elektrónu v 6-rozmernom fázovom priestore rýchlosťi a súradnic. Hustota tepelného prúdu — prenos kinetickej energie elektrónov je

$$W = \frac{m^*}{2} \iiint (v_x^2 + v_y^2 + v_z^2) v_x f \frac{2m^*}{h^3} dv_x dv_y dv_z. \quad (3)$$

Úpravou rovnice (2) a (3) za predpokladu, že rýchlosť spôsobená vonkajším polom je voči tepelnej rýchlosťi zanedbatelná a vzhladom k malej pravde..

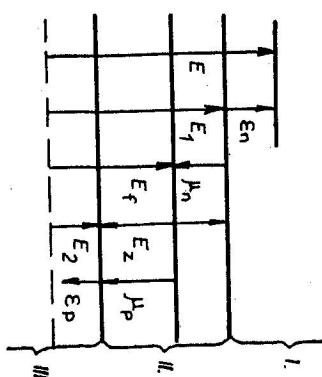
^{*}) Rozmer $l_0(T)$ vyplýva zo vzťahu $l = l_0(T) \varepsilon^r$, teda $[l_0(T)] = \text{kg}^{-r} \text{m}^{1-2s^2r}$.

podobnosti obsadenia stavov s velkou energiou, zavedením $\mu = E_f - E_1$ a $\varepsilon = E - E_1$ (obr. 1) dostaneme

$$j = \frac{16\pi m^*}{3h^3} l_0(T) (r + 1)(kT)^{r+1} F_r(\mu^*) \left[\frac{du}{dx} + eE_x - \frac{\mu}{T} \frac{dT}{dx} + \frac{r+2}{r+1} k \frac{dT}{dx} \frac{F_{r+1}(\mu^*)}{F_r(\mu^*)} \right] \quad (4)$$

$$W = \frac{-16\pi m^*}{3h^3} l_0(T) \left[\left(\frac{du}{dx} + eE_x - \frac{\mu}{T} \frac{dT}{dx} \right) (r + 2)(kT)^{r+2} F_{r+2}(\mu^*) + \frac{1}{T} \frac{dT}{dx} (r + 3)(kT)^{r+3} F_{r+3}(\mu^*) \right].$$

Obr. 1. Označenie energií v pásmovom diagrame. I. vodivostné pásmo, II. zakázané pásmo, III. valenčné pásmo.



Kde boli zavedené Fermiovo integrály

$$F_r(\mu^*) = \int_0^\infty \frac{t^r}{1 + \exp(t - \mu^*)} dt$$

$$\text{kde } t = \frac{\varepsilon}{kT} \text{ a } \mu^* = \frac{\mu}{kT}.$$

Z podmienky $j = 0$ pre otvorený okruh plynie

$$\frac{d\mu}{dx} + eE_x - \frac{\mu}{T} \frac{dT}{dx} + \frac{r+2}{r+1} k \frac{dT}{dx} \frac{F_{r+1}(\mu^*)}{F_r(\mu^*)} = 0. \quad (6)$$

Z rovníc (5) a (6) dostaneme po úprave

$$W = -\frac{16\pi m^*}{3\hbar^3} I_0(T)k \left[(r+3)\bar{F}_{r+2}(\mu^*) - \frac{(r+2)^2}{r+1} \frac{\bar{F}_{r+1}(\mu^*)}{\bar{F}_r(\mu^*)} \right] (kT)^{r+2} \frac{dT}{dx}. \quad (7)$$

Porovnaním rovnice (7) s rovnicou pre vedenie tepla $W = -\sigma \frac{dT}{dx}$ dostaneme

pretepelnu Volumen eins.

$$\sigma_t = \frac{16\pi m^*}{3b_3} I_0(T)k \left[(r+3)F_{r+2}(\mu^*) - \frac{(r+2)}{r+1} \frac{F_{r+1}^2(\mu^*)}{F_r(\mu^*)} \right] (kT)^{r+2}. \quad (8)$$

V otvorenom okruhu bude (myslený) elektrický prúd vytvorený elektrickým polom o intenzite E_x kompenzovaný elektrickým prúdom (mysleným) vytvoreným diffúziou (nasledkom dT/dx a $d\mu/dx$). Pre pôvodne homogénu vzorku (keby $\partial\mu/\partial x = 0$) dostaneme z rovnice (4) v prípade $dT/dx = 0$ pre elektrický

prúd výraz

$$j = \frac{16\pi e^2 m^*}{3k^3} I_0(T)(r+1)(kT)^{r+1} F_r(\mu^*) E_x \quad (9)$$

čo porovnané s rovnicou $j = \sigma_n E_x$ dáva pre elektrickú vodivosť

TERMOELEKTRICKÉ NAPÄTIE

Dalsie úvahy sa budú vzťahovať na prerušený obvod nehomogéneho polohodíca n -typu (obr. 2), ktorého dve rôzne miesta (jednorozmerný prípad) sú udržujú na rôznych teplotách T_1 , T_2 . Konce l , m , medzi ktorými budeme výšetrovať termoelektrické napätie, majú to isté zloženie a teplotu ($T_l = T_m$). Okolnosť, že elektromotorické napätie pôsobiace v uzavretom okruhu termo-

Obr. 2. K výpočtu termoelektrického napäťa nehomogénnego polovidca *n*-typu.

článku rovná sa rozdielu potenciálov elektroód otvoreného článku, umožňuje vypočítať termoelektrické napätie

$$-\int\limits_l^m dV = \int\limits_l^m E_x dx = V_l - V_m,$$

kde za E_x dosadíme z rovnice (6) odvodenej pre otvorený okruh, čo po úprave dáva

$$V_t - V_n = -\frac{1}{e} \int_{1,a,2,b,1}^T \frac{\beta_n}{T} dT = -\frac{1}{e} \int_{T_1}^{T_i} \frac{\beta_{na}}{T} dT - \frac{1}{e} \int_{T_i}^{T_1} \frac{\beta_{nb}}{T} dT =$$

$$= -\frac{1}{e} \int_{T_1}^{T_i} \frac{\beta_{na} - \beta_{nb}}{T} dT. \quad (11a)$$

Teda výsledné termoelektrické napätie uzavretého okruhu nehomogenne vzorky určitého (n) typu rovná sa rozdielu príspevkov termoelektrických na pätí príslušnych vetvi – vetve a a b . Ako vidno z rovníc (11) resp. (11a) nenu lové termoelektrické napätie bude len v prípade nehomogénneho okruhu na ktorom bude teplotný spad. Pri tvorbe integrálu v rovnici (11), resp. (11a)



Obr. 3. K výpočtu termoelektrického napäťa článku skladajúceho sa z dvoch nehomogenných vetiev n -typu.

Obr. 4. K výpočtu termoelektrického napäťa obvodu skladajúceho sa z nehomogenných n - p -vetiev.



Obr. 2. K výpočtu termoelektrického napäťa nehomogénnego polovidca *n*-typu.

V prípade homogénej vzorky sa budú totiž jednotlivé príspevky odoviedajúce stúpaniu a klesaniu teploty v tých istých teplotných intervaloch ruší, nakoľko integrand je u homogénej vzorky len funkciou teploty.

U nehomogénej vzorky konštantnej teploty bude $dT = 0$, teda rovnice (11) a (11a) budú rovné nule, resp. pri $T = \text{konst.}$ krivkovým integrálom úplného diferenciálu.

V súvislosti s dosiahnutými výsledkami by som poukázal na niektoré nedopatrenia vyskytujúce sa v často citovanej práci [4]. V odstavci *Rozbor rovnic pro termoelektrické napäť* uvedenej práce sa totiž neberie do úvahy tepelná závislosť výrazu ϵ_r/T (čo odpovedá nášmu výrazu β/T) v oblasti medzi bodmi 2 a 3 a to ako v obrázku 5 a ob. 6a, tak i pri integrovaní podla rovnic (26) a (27) čo vedie v oboch prípadoch k nesprávnym výsledkom.

Pri odvodzovaní príslušných vzťahov pre polovodič p -typu bude postup analogický s tým rozdielom, že za náboj treba dosadiť $+e$, a μ bude chemický potencial pre diery, resp. m^* efektívna hmota diery.

Pre uzavretý obvod skladajúci sa z n a p vetve, obr. 4, bude potom

$$V_m - V_t = \int_{T_1}^{T_2} \frac{1}{e} \frac{\beta_p + \beta_n}{T} dT = \alpha_s \Delta T. \quad (12)$$

V takomto usporiadaní bude výsledné termoelektrické napätie rovné súčtu príspevkov oboch vetví.

VZŤAHY PRE TEPLO UVOLENÉ NÁSLEDKOM PRECHODU PRÚDU V ZORKOU V PRÍTOMNOSTI TEPLITNEHO SPÁDУ
N EHOMOGÉNNOU VZORKOU V PRÍTOMNOSTI TEPLITNEHO SPÁDУ
THOMSONOV A PELTIEROV JAV AKO ZVLÁSTNE PRÍPADY

Uvažujme obvod nehomogéneho polovičia n -typu konštantného prierezu, ktorý je popísaný na začiatku (obr. 2) s tým rozdielom, že v miestach l a m je pripojena batéria B (obr. 5), teda uzavretý obvod, v ktorom je elektrický a tepelný tok. Za stacionárneho stavu bude množstvo tepla uvoľnené za jednotku času v jednotkovom objeme

$$q = jE - \operatorname{div}(\lambda_m \operatorname{grad} T) - \operatorname{div} W, \quad (13)$$

kde λ_m je tepelná vodivosť mriežky. V jednorozmernom prípade prejde rovnica (13) na

$$q = jE - \frac{\partial W}{\partial x} - \frac{d}{dx} \left(\lambda_m \frac{dT}{dx} \right). \quad (13a)$$

Z rovnic (4) a (5) s ohľadom na rovinu (8) dostaneme

$$W = - \frac{j}{e} \frac{r+2}{r+1} \frac{kT}{F_{r+1}(\mu^*)} \frac{F_{r+1}(\mu^*)}{F_r(\mu^*)} - \alpha_l \frac{dT}{dx}. \quad (14)$$

Rovnica (14) vyjadruje – na rozdiel od rovnice (7), ktorá sa vzťahuje na otvorený okruh – tepelný tok sprostredkovaný elektrónmi v uzavretom okruhu za prítomnosti elektrického prúdu. Z rovnic (4) s ohľadom na rovinu (10) dostaneme

$$E = \frac{j}{\sigma_{el}} - \frac{1}{e} T \frac{d}{dx} \left(\frac{\mu}{T} \right) - \frac{1}{e} \frac{1}{T} \frac{r+2}{r+1} kT \frac{F_{r+1}(\mu^*)}{F_r(\mu^*)} \frac{dT}{dx}. \quad (15)$$

Dosadením rovnic (14) a (15) do (13a) dostaneme po úprave

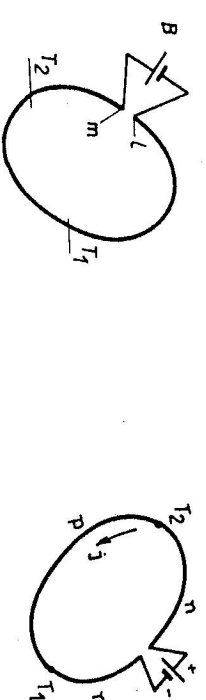
$$q = \frac{j^2}{\sigma_{el}} + \frac{d}{dx} \left(\lambda \frac{dT}{dx} \right) + \frac{j}{e} T \frac{d}{dx} \left(\frac{r+2}{r+1} kT \frac{F_{r+1}(\mu^*)}{F_r(\mu^*)} \frac{1}{T} - \frac{\mu}{T} \right) \quad (16)$$

kde bol použitý vzťah $\lambda = \lambda_m + \sigma_k$.

Tretí člen pravej strany rovnice (16), úmerný j , je teplo uvoľnené následkom zmeny μ a T a mení svoje znamienko pri zmene smeru elektrického prúdu. Tento tretí člen – v ďalšom ho budeme označovať symbolom q -zahrňuje ako Peltierovo teplo – kedy $dT/dx = 0$ a $d\mu/dx \neq 0$ – tak Thomsonovo teplo, kedy $\partial\mu/\partial x = 0$ a $dT/dx \neq 0$. Teda teplo uvoľnené v elemente nehomogéneho polovodiča jednotkového prierezu o dĺžke dx za jednotku času odoviedajúce poslednému členu rovnice (16) je

$$dq = \frac{j}{e} T \frac{d}{dx} \frac{1}{T} \left(\frac{r+2}{r+1} kT \frac{F_{r+1}(\mu^*)}{F_r(\mu^*)} - \mu \right) dx = \frac{j}{e} T \frac{d}{dx} \left(\frac{\beta_n}{T} \right) dx. \quad (17)$$

Pre uzavretý okruh n -typu platí zrejme



Obr. 5. K výpočtu tepla uvoľneného následkom prechodu prúdu obvodom skladajúcim kom nehomogénnou vzorkou n -typu v prítomnosti teplotného spádu.

Obr. 6. K výpočtu tepla uvoľneného následkom prechodu prúdu obvodom skladajúcim kom nehomogénnych n -i p -vetiev v prítomnosti teplotného spádu.

$$\oint dq_j = \oint j \frac{T}{e} \frac{d}{dx} \left(\frac{\beta_n}{T} \right) dx = j \oint K_n dx, \quad (17a)$$

kde bolo zavedené $K_n = \frac{T}{e} \frac{d}{dx} \left(\frac{\beta_n}{T} \right) dx$ analogicky

$$K_p = - \frac{T}{e} \frac{d}{dx} \left(\frac{\beta_p}{T} \right) dx.$$

V prípade nespojitej zmeny, napr. pri styku dvoch polovodičov n -typu nadobudne rovnica (17) tvár

$$q_j = \frac{j}{e} T \left(\frac{\beta_{n2}}{T} - \frac{\beta_{n1}}{T} \right) = \frac{j}{e} (\beta_2 - \beta_1), \quad (18)$$

kde prúd má v mieste styku smer od vzorky 1 ku vzorke 2.
Pri styku vzoriek n - a p -typu bude

$$q_j = - \frac{j}{e} (\beta_{p1} + \beta_{p2}) = - j \pi \nu < 0 \quad (18a)$$

a pri opačnom smere prúdu

$$q_j = \frac{j}{e} \beta_{p1} + \beta_{p2} = j \pi \nu > 0, \quad (18b)$$

nakolko $\beta > 0$ pretože $r \geq 0$ a $\mu < 0$.

Pre uzavretý obvod s priloženou batériou skladajúci sa z n a p vetve (obr. 6) možno písat

$$\begin{aligned} \oint dq_j &= \frac{i}{e} \int_{1,n,2}^{2,p,1} T \frac{d}{dx} \left(\frac{\beta_n}{T} \right) dx - \frac{j}{e} T \int_{2,p,1}^{2,p,1} \frac{d}{dx} \left(\frac{\beta_p}{T} \right) dx = \\ &= - \frac{j}{e} \int_{1,n,2}^{2,p,1} \frac{\beta_n}{T} dT + \frac{j}{e} \int_{2,p,1}^{2,p,1} \frac{\beta_p}{T} dT = \frac{j}{e} \int_{T_2}^{T_1} \frac{\beta_n + \beta_p}{T} dT. \end{aligned} \quad (18c)$$

Z rovníc (18a) a (18b) je vidieť, že $T_2 < T_1$.

Porovnanie prípadov pristúhajúcich k obr. 4 a obr. 6 znázorňuje uplatnenie všeobecného Lančovho zákona. V prípade znázornenom na obr. 4 vzniknutý prúd sa snaží potlačiť tepelné pole, ktoré je príčinou jeho vzniku, podľa rovníc (18a) a (18b). V prípade znázornenom na obr. 6 sa prúd od priloženej batérie

snaží vytvoriť tepelné pole, ktoré by bolo príčinou prúdu opačného smeru. Z rovníc (11) a (17a) vyplýva $K_n = E_x$.

Uvedenému výsledku možno dať nasledovnú interpretáciu. Ak sa v elemente polovodiča následkom prechodu prúdu – napr. od príslušnej batérie – teplo uvoľní, teda $K_n > 0$, je smer príslušnej *lokálnej* intenzity (ktorá môže byť dôsledkom nehomogenity) totožný so smerom prúdu, resp. prúd tečie v danom elemente v smere klesajúceho *lokálneho* napäťia. (To isté platí i naopak). V preedených úvahach znejme nie je intenzita elektrického pola pochádzajúca od vonkajšieho priloženého zdroja zahrnutá do lokálnej intenzity elektrického pola. Smer prúdu je pritom daný orientáciou výsledného elektromotorického napäťia, ktoré dostaneme zložením termoelektrického napäťia a vonkajšieho napäťia. Z rovníc (12) a (18c) ako i obr. 6 viďmo, že uvoľnené teplo v obvode rovná sa súčinu prúdu – tečúcemu v obvode – a termoelektrického napäťia, ktoré pôsobí proti tomuto prúdu.

VPLYV NEHOMOGENITY

Vplyv nehomogenity a jej orientácie vzhľadom k teplotnému polu na termoelektrické napätie

Vzhľadom na rovnici (12) stačí výsledit vplyv nehomogenity na termoelektrické napätie napr. v n -vetve. Za účelom kvalitatívneho zhodnotenia vplyvu nehomogenity na termoelektrické napätie (v ďalšom t. n.) použijeme priblženie, kedy je možno položiť $F_m(x) \approx \Gamma(m+1) \exp(x)$. Pri $r = 0$, $T = 300$ °K, pri $x = \mu/kT = -1$ teda pre $n \approx 10^{19}$ cm⁻³ bude príslušná odchyľka hodnot $\beta \approx 5\%$, nakolko $\beta T / \beta F = 3/3,16$. Príspevok n -vetve k t. n. bude potom

$$V_1 - V_2 = \frac{1}{e} \int_{T_2}^{T_1} \frac{\beta_n}{T} dT = \frac{k}{e} \int_{T_2}^{T_1} \left(r + 2 - \frac{\mu}{kT} \right) dT. \quad (19)$$

Okolnosť, že vzorka je nehomogénnia možno vziať do úvahy zavedením $\mu = \mu(x, T)$. To je možné napr. pri exponenciálnom priebehu koncentrácií prímesí a takých teplotných pomeroch, že všetky primesné centrá sú prakticky ionizované ale nedochádza ešte k neziaducnej vlastnej vodivosti. Potom možno v prvom priblžení – ak zanedbáme v rozdeľovacej funkcií (1) $f = f_0 - v_x g$ výraz $v_x g$ vzhľadom k f_0 – pre koncentráciu nosičov písat

$$\mu = \mu_0 \exp(Kx) = 4\pi \left(\frac{2m^*}{h^2} kT \right)^{3/2} F_{1/2}(\mu^*) = 4\pi \left(\frac{2m^*}{h^2} kT \right)^{3/2} \frac{1}{2} (\pi)^{1/2} \exp(\mu^*),$$

kde $K > 0$, nakoľko

$$F_{1/2}(\mu^*) = \Gamma\left(\frac{3}{2}\right) \exp(\mu^*) = \frac{1}{2} (\pi)^{1/2} \exp(\mu^*),$$

$$\text{z čoho } \exp\frac{\mu k}{T} = n_0 \left[4\pi \left(\frac{2m^*}{\hbar^2} k \right)^{3/2} \frac{1}{2} (\pi)^{1/2} \right]^{-1} T^{-3/2} \exp(Kx) = \exp(a) T^{3/2} \exp(Kx). \quad (20)$$

Toto rovnicou je zavedený exponent a . Z rovnice (20) plyní

$$\frac{\mu k}{T} = a + Kx - \frac{3}{2} \ln T. \quad (20a)$$

Výraz pre a možno určiť z hodnoty μ_k prislúchajúcej $x = 0$ a teplote $T = T_i$, teda

$$a = \frac{\mu k_i}{T_i} + \frac{3}{2} \ln T_i \quad (21)$$

čo dosadené do (20a) dáva

$$\frac{\mu}{kT} = \frac{\mu_i}{kT_i} + \frac{3}{2} \ln T_i + Kx - \frac{3}{2} \ln T \quad (22)$$

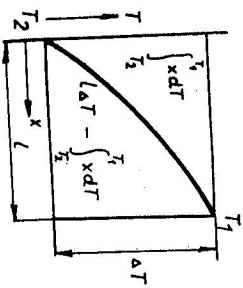
resp.

$$\mu_+ = T_i \mu_i / T_i - \frac{3}{2} kT \ln T / T_i + kKT x = \mu(x, T). \quad (23)$$

Pri opačnej orientácii nehomogenity vzhľadom k osi x bude zrejme $n = n_0 \exp(K(l-x))$ z čoho

$$\mu_- = \mu_i T_i / T_i - \frac{3}{2} kT \ln T / T_i + kKT (i-x) = \mu((l-x), T). \quad (23a)$$

V ďalšom budeme stúpanie teplostí predpokladať v smere osi x . μ_+ (resp. μ_-) je chemický potencial v prípade, že koncentrácia prímesí so stúpajúcim x rastie (resp. klesa). Dosadením rovnice (23) do rovnice (19) za predpokladu, že r možno považovať za konštátne, dostaneme



Obr. 7. K výpočtu príspevku nehomogeneitý k termoelektrickému napätiu.

$$(V_2 - V_1)_+ = -\frac{k}{e}(r+2)\Delta T + \frac{1}{e} \int_{T_1}^{T_2} \frac{\mu_+}{T} dT = \frac{k}{e} \left[\frac{\mu_+}{kT_i} + \frac{3}{2} \ln T_i - (r+2) \right] \Delta T \quad (24)$$

a analogicky

$$(V_2 - V_1)_- = \frac{k}{e} \left[\frac{\mu_-}{kT_i} + \frac{3}{2} \ln T_i - (r+2) \right] \Delta T - \frac{3}{2} \frac{k}{e} (T_1 \ln T_1 - T_1 - T_2 \ln T_2 + T_2) + K \frac{k}{e} \int_{T_1}^{T_2} x dT - T_2 \ln T_2 + T_2) + K \Delta T - K \frac{k}{e} \int_{T_1}^{T_2} x dT. \quad (25)$$

Nakoľko $(V_2 - V_1)_- < 0$ – čo vyplýva z rozboru rovnice (19), kde $\beta_n/T > 0$ a $T_1 > T_2$ – budú výrazy obsahujúce K celkové t. n. v oboch prípadoch zmenšovať. Z rovníc (24), (25) a obr. 7 viďmo, že pri $K \neq 0$, $dT/dx = T(x) \neq \text{konst.}$ bude za tých istých teplotných pomerov $(V_2 - V_1)_- \neq (V_2 - V_1)_+$. Pre kvantitatívne posúdenie vplyvu nehomogenity na t. n. bude vhodné zaviesť

$$\alpha_K = \frac{V_K}{\Delta T} = \frac{1}{2} \frac{k}{e} K L, \quad (26)$$

ktorého význam je zrejmy z rovníc (24), (25) a obr. 7 a porovnať ho s hodnotou α . Ak do výrazu $\alpha = k/e(r+2 - \mu/kT)$ dosadime napr. $r = 0$, $\mu/kT = -1$ bude $\alpha = 3k/e = 259.10^{-6}$ V/deg a $\alpha_K/\alpha = Kl/6$, kde $Kl = \ln n_{x=1}/n_{x=0}$ za predpokladu, že $n_{x=1} = 2n_{x=0}$ bude $Kl = \ln 2 = 0,693$, teda zníženie t. n. nehomogénnego materiálu bude v tomto prípade asi 11 % vzhľadom k homogénnemu materiálu s koncentráciou $n = n_{x=0}$. Ak $dT/dx = \text{konst.}$ bude v tomto prípade $(V_2 - V_1)_- = (V_2 - V_1)_+$ ako vyplýva z rovníc (24), (25) a obr. 8. Uvedený špeciálny prípad možno zovšeobecniť nasledovne. Pre nehomogénnu vzorku n -typu bude $\alpha_n = \alpha(x, T)$ potom

$$V_2 - V_1 = -\frac{1}{e} \int_{T_1}^{T_2} \alpha(x, T) dT,$$

kde $T = T(x)$.

$$(V_2 - V_1)_+ = -\frac{1}{e} \int_0^2 \alpha(x, T(x)_+) T'(x)_+ dx, \quad (27)$$

$$(V_2 - V_1)_- = - \frac{1}{e} \int_0^1 \alpha((l-x), T(x)_-) T'(x)_- dx. \quad (28)$$

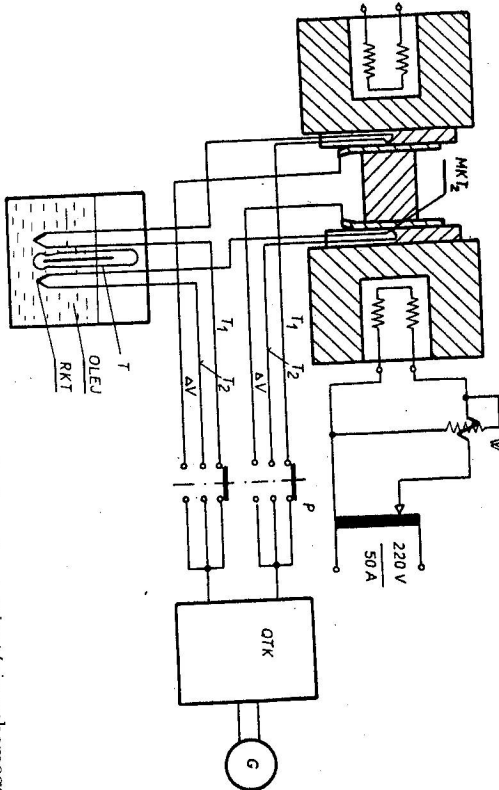
V rovniciach (27) a (28) je vzatá do úvahy odlišnosť teplotných polí (pri tých istých okrajových podmienkach) následkom rôznej orientácie nehomogenity. V tomto prípade aj pri $T(x)_+ = T(x)_-$ a $T'(x) = \text{konst.}$ zrejme bude $(V_2 - V_1)_+ \neq (V_2 - V_1)_-$.

Experimentálna verifikácia vplyvu nehomogenity na termoelektrické napájanie

Túto experimentálnu verifikáciu som prevedol na meranie vplyvu orientácie nehomogenity vzadom k teplotnému polu — teda na verifikáciu nerovnosti

$$(V_2 - V_1)_+ \neq (V_2 - V_1)_-. \quad (29)$$

Meranie som robil na nehomogénej vzorku n -typu zhotovenej za výnimočneho Výskumnom ústavu pre práškovú metalurgiu v Šumperku zlisovaním tabuľky s vodivostami $\sigma = 580, 850, 900, 1050, 1250 \Omega^{-1}\text{cm}^{-1}$. Ďalšie označenie vzorky: VV-75-2 až 6-N $\alpha_1 = 160 \cdot 10^{-7} \text{ V/deg}$. Kvalitatívne overenie priebehu vodivosti som zistil dvojsondovou metódou.



Obr. 8. Usporiadanie meracieho zariadenia na určenie vplyvu orientácie nehomogenity vzhľadom k teplotenemu polu na termoelektrické napätie. **W** — watrometer, **G** — galvanometer, T_1, T_2 — teploty, **T** — teplomer, **CK** — kompenzátor, **P** — trojpolohový prepínač, ΔV — termonapätie, **RKT₂** — referenčný koniec termožlánku **MKT** — merný koniec termožlánku o teplote T_2 .

Tabułka

$(V_1 - V_2)_+$	VT_{1+}	VT_{2+}	$(V_1 - V_2)_-$	VT_{1-}	VT_{2-}
39,25	8,68	0,285	39,05	8,7	0,24
39,7	8,8	0,295	39,4	8,8	0,25
41,3	9,15	0,345	40,6	9,15	0,305
41,5	0,2	0,35	40,85	9,4	0,31
41,8	9,25	0,36	41,1	9,28	0,33
42,1	9,3	0,37	41,2	9,32	0,34
42,2	9,35	0,37	41,3	9,36	0,345
42,35	9,38	0,38	41,5	9,39	0,36
42,55	9,4	0,385	41,6	9,45	0,365
42,85	9,49	0,405	41,7	9,48	0,38
43,00	9,55	0,415	41,8	9,5	0,385
43,15	9,58	0,43	41,85	9,52	0,385
			41,95	9,55	0,39
			42,00	9,58	0,4
			42,1	9,6	0,41
			42,2	9,65	0,415
			42,35	9,7	0,435
			42,45	9,73	0,44
43,35	9,65	0,445	42,5	9,735	0,44
43,55	9,68	0,45	42,6	9,78	0,45
43,8	9,75	0,47	42,65	9,8	0,46
44,45	9,93	0,53	42,7	9,83	0,47
			42,8	9,85	0,48
			42,85	9,87	0,49
			42,9	9,89	0,5
			43,7	10,15	0,56
			43,9	10,2	0,56
45,00	10,1	0,58	44,05	10,25	0,565
45,1	10,13	0,595		10,295	0,57
			44,2	10,36	0,58
			44,45	10,36	0,484
			44,6	10,4	0,59
			44,8	10,47	0,62
45,30	10,21	0,63	45,30	10,62	0,62

Výťah z nameraných hodnôt termonapäťí $(V_1 - V_2)_+$, resp. $(V_1 - V_2)_-$ v prípade, že koncentrácia prímesí so stúpajúcou teplotou vo vzorke rastie, resp. klesá. Termonapätie vzorky ako i hodnota termonapäťí V_T , resp. V_{T_1} , merané termočívkami Cu-Ko prisľúchajúce krajiným teplotám T_1 , resp. T_2 sú uvedené v mV.

Usporiadanie meracieho zariadenia (obr. 8) dovoľovalo pri inak nezmene-
ných pomeroch ohrievať jeden alebo druhý koniec vzorky tým istým dodaným
výkonom, aby bol zaručený pokial možno ten istý teplotný príbeh v oboch
prípadoch. Pomocou niekolokrát opakovaného priebežného merania oboch
príslušných t_n boli nre oba prípady získané série údajov [tab. 1].

Vplyv nehomogenitý na tepelnú bilanciu termočlánku

Ak je nehomogenita orientovaná vzhľadom k teplotnému polu tak, že konice vzorky s väčším špecifickým elektrickým odporom (ϱ) je na teplejšom konci dalo by sa očakávať – ak odliadne od prípadného zmenenia špecifického elektrického odporu následkom vyšej teploty – že sa tým zníží hodnota dT/dx následkom uvoľneného Jouleovho tepla viač než pri opačnej orientácii. V oboch prípadoch bude však treba v celkovej tepelnej bilancii vziať do úvahy i príslušné Peltierovo teplo pohľtené na teplejšom konci.

Výsledne teplotné pole nehomogénnej vzorky s konštantným priezorom S v pomeroch, ktoré sú blízke pomerom pracujúceho termočlánku, teda konce vzorky sa udržujú na konštantných teplotách a povrch vzorky je ideálne tepelne izolovaný. Príslušná jednorozmerná diferenciálna rovnica vypĺňava zo zákona o zachovaní energie v lúbovolnom elemente vzorky o dĺžke dx

$$S \frac{d}{dx} \left(\lambda \frac{dT}{dx} \right) dx + S \omega dx = c(x)s(x)Sdx \frac{dT}{dx}, \quad (30)$$

kde λ je tepelná vodivosť, s tepelná výdatnosť zdrojov, $c(x)$ a $s(x)$ je špecifické teplo, resp. špec. hmota vzorky a τ znamená čas.

V ustálenom stave, kedy $\frac{dT}{dx} = 0$, bude rovnica (30) mať tvar

$$S \frac{d}{dx} \left(\lambda \frac{dT}{dx} \right) dx + S \omega dx = 0. \quad (30a)$$

Rovnica (30a) s ohľadom na rovnici (17) prejde pre nedegenerovaný plyn,

$$\text{kedy } \frac{\beta_n}{Tk} = r + 2 - \frac{\mu_n}{kT}, \text{ na tvar}$$

$$S \frac{d}{dx} \left(\lambda \frac{dT}{dx} \right) dx + \frac{Sj}{e} T \frac{d}{dx} \left(r + 2 - \frac{\mu_n}{Tk} \right) kdx + \frac{J^2 \varrho}{S} dx = 0 \quad (30b)$$

a za predpokladu $\lambda = \text{konst.}$ vzhľadom na rovnici (23) na

$$\frac{d^2T}{dx^2} + \frac{j}{\lambda e} \frac{k}{2} \frac{dT}{dx} - \frac{j}{\lambda e} KT = - \frac{j^2}{\lambda} \varrho_+. \quad (31+)$$

Rovnica (30b) prejde vzhľadom na rovnici (23a) na

$$\frac{d^2T}{dx^2} + \frac{j}{\lambda e} \frac{3}{2} \frac{dT}{dx} + \frac{j}{\lambda e} KT = - \frac{j^2}{\lambda} \varrho_-, \quad (31-)$$

kde ϱ_+ resp. ϱ_- je výraz pre merný elektrický odpor v prípade, že koncentrácia

prímesí s rastúcim x stúpa, resp. klesá. Vzhľadom na rovnici (10) a rovnici (23) resp. (23a) bude pre nedegenerovaný plyn

$$\varrho_+ \sim \exp - (\mu_0/kT_i + \frac{3}{2} \ln T_i + Kx - \frac{3}{2} \ln T) \quad (32+)$$

$$(32-)$$

$$\varrho_- \sim \exp - (\mu_0/kT_i + \frac{3}{2} \ln T_i + K(l-x) - \frac{3}{2} \ln T) \quad (33)$$

teda $\varrho_+ = \varrho_- \exp [K(l-2x)]$.

Vzhľadom na rovnici (9) možno písat

$$\varrho_+ = C_+(T) \exp (-Kx) \quad (34+)$$

$$(34-)$$

$$\varrho_- = C_-(T) \exp (Kx).$$

Vzťah medzi C_+ a C_- , ktoré závisia už len od teploty, dostaneme z podmienky

$$\left. \frac{\varrho_-}{\varrho_+} \right|_{x=1/2} = 1 = \frac{C_-(T)}{C_+(T)} \exp (Kl) \quad (35)$$

z čoho

$$C_+(T) = C_-(T) \exp (Kl),$$

kde $C_-(T)$ je zrejme minimálna hodnota špecifického elektrického odporu nehomogénnej vzorky pri udanej teplote. Vzhľadom na rovnice (34+), (34-) a (35) možno rovnice (31+) a (31-) písat ľahšie v tvare

$$\frac{d^2T}{dx^2} + \frac{j}{\lambda e} \frac{3}{2} \frac{dT}{dx} \pm K \frac{j}{\lambda e} T = - \frac{j^2}{\lambda} C_\pm(T) \exp \mp (Kx) \quad (36_\pm)$$

Ak zanedbáme v rovnici (36 $_\pm$) teplotnú závislosť $C_\pm(T)$, resp. $C_+(T)$ zväčší sa hodnota rozdielu $(dT/dx|_+ - dT/dx|_-) = \Delta dT/dx$ vzhľadom ku skutočnej hodnote príslušného rozdielu.

V prípade $j = 0,5 \text{ A cm}^{-2}$, $l = 2 \text{ cm}$, $\lambda = 0,02 \text{ W cm}^{-1}\text{deg}^{-1}$, $C_- = 10^{-2} \Omega\text{cm}$,

$T_1 = 300^\circ\text{K}$ a $T_2 = 400^\circ\text{K}$, dáva riešenie rovnice (36 $_\pm$)

$$\left. \frac{dT}{dx} \right|_{+x=l} = 50,36 \text{ deg cm}^{-1}; \quad \left. \frac{dT}{dx} \right|_{-x=l} = 48,48 \text{ deg cm}^{-1}.$$

Zmenšenie tepelného toku vyjadrené v percentách celkového tepelného toku je

$$\frac{\Delta dT/dx}{dT/dx} \frac{1,88}{50} 100 = 3,76\%.$$

Feltierovo teplo pohľtené na teplejšom konci možno pre obe orientácie nehomogenity vzhľadom k teplotnému polu vypočítať z rovnice (18a). Za predpokladu, že $\beta_n = \beta_p$ a $r = 0$ bude podla rovnice (18) v nedegenerovanom prípade

$q_J = -2J(2kT - \mu)/e$. Rozdiel Peltierovho tepla pohltencho na teplejšom konci pre rôzne orientácie nehomogenity bude

$$\Delta q_J = -(q_{J-} - q_{J+}) = 2J(-\mu_- - \mu_+)/e.$$

Podľa rovnic (23) a (23a) bude

$$\mu_+ - \mu_- = kKTl,$$

čo pre uvedené pomery dáva $q_J = 2J \frac{k}{e} TKl = 1A \cdot 8,63 \cdot 10^{-5} V \deg^{-1} \times$

$$\times 400 \deg 1,6 = 0,0552 W.$$

Vyjadrené v percentách celkového teplelného toku, (ktorého hodnota v n i p vetve je

$$2\lambda \frac{dT}{dx} S = 2 \cdot 0,02 W \text{ cm}^{-1} \text{ deg}^{-1} 50 \deg \text{ cm}^{-1} 1 \text{ cm}^2 = 2 W \text{ je } \frac{0,055}{0,02} = 2,7 \%$$

Túto kompenzáciu zníženia $dT/dx|_L$ vzhladom k $dT/dx|_+$ zvážením príslušného Peltierovho tepla pohltencho na teplejšom konci neberie do úvahy článok [5].

ZÁVER

Bolo by teda možné povedať, že zmena orientácie nehomogenity vzhladom k teplotnému polu nezlepší celkovú tepelnú bilanciu t. j. nezmenší celkové teplo priviedené teplejšiemu koncu. Vzhľadom na zníženie t. n. následkom nehomogenity voči homogénej vzorke (u ktorej koncentrácia prímesi je rovná minimu koncentrácie nehomogénej vzorky) nelobde teda vhodné použiť za týchto okolností nehomogénnu vzorku (s prakticky konštantou šírkou zakázaného pásma) ako termoelektrický materiál. To nie je zrejme v rozpore s výhodami kaskádneho usporiadania termobatérie, kde jednotlivé kaskády pracujú optimálne i následkom primeranej šírky zakázaného pásma materiálu tej-ktorej kaskády v danom teplotnom intervale.

LITERATÚRA

- [1] Seitz F., *The modern theory of solids*. McGraw-Hill book company Inc, New York and London 1940.
- [2] Блекмор Дж., *Статистика электронов в полупроводниках*. Издательство Мир, Москва 1964.
- [3] Anselm A. I., *Úvod do teórie polovodičov*. Nakladatelství ČSAV, Praha 1967.

[4] Taue J., Čsl. čas. fyz. 3 (1953), 278.
[5] Káč A., ETZ A 78 (1957), 182.

Došlo 18. 1.. 1968

Katedra fyziky
Elektrotechnickej fakulty SVŠT,
Bratislava

A CONTRIBUTION TO THE THEORY OF THERMOELECTRIC
PHENOMENA IN NON-HOMOGENEOUS SEMICONDUCTORS

Bernard König

Summary

After derivation of the appropriate relations the influence of inhomogeneities on the thermoelectric power as well as on the thermal balance of a thermocouple are dealt with. The inhomogeneity was produced by change of the admixture concentration.